

شیمی کانی‌ها و تخمین دما و فشار تشکیل گارنت‌شیست‌های کوه ارغون، غرب معدن انگوران

عادل سرخوشی^(۱)، محسن موذن^(۲) و جواد ایزدیار^(۳)

۱. کارشناسی ارشد، گروه زمین‌شناسی، دانشکده علوم، دانشگاه زنجان، ایران
۲. استاد، گروه زمین‌شناسی، دانشکده علوم، دانشگاه تبریز، ایران
۳. استادیار، گروه زمین‌شناسی، دانشکده علوم، دانشگاه زنجان، ایران

تاریخ دریافت: ۹۳/۶/۱۶

تاریخ پذیرش: ۹۳/۱۰/۲۸

چکیده

گارنت‌شیست‌های کوه ارغون دارای مجموعه کانی‌ای کوارتز، فلدسپار، میکا و گارنت هستند. ترکیب شیمیایی پلاژیوکلاز، بیوتیت، مسکویت، کلریت و گارنت نشان می‌دهد که پلاژیوکلازها غنی از آلبیت، میکای سفید غنی از اعضای نهایی مسکویت، کلریت بیشتر دارای اعضای نهایی آمسیت و سدیت بوده و فلوگوپیت - آئیت تشکیل دهنده اصلی بیوتیت می‌باشند. گارنت‌ها غنی از آلماندن و اسپسارتین هستند. در این مطالعه، فشار و دمای حد بالایی و حد پایینی دگرگونی سنگ‌ها با استفاده از روش‌های متداول زمین‌دما-فشارسنجدی محاسبه شد. با استفاده از دماسنج تبادل کاتیون Fe-Mg بین گارنت و بیوتیت با فرض فشار 4Kbar بالاترین حرارت محاسبه شده ۶۱۵ و کمترین حرارت محاسبه شده ۴۲۹ درجه سانتی‌گراد و برای 8Kbar بالاترین حرارت محاسبه شده ۶۴۴ و کمترین حرارت محاسبه شده ۴۵۲ درجه سانتی‌گراد می‌باشد. با استفاده از روش تعادل کانی‌شناسی چندگانه، بهترکیت فشار و دمای محاسبه شده برای حد بالایی و حد پایینی دگرگونی، حدود ۸۰۱ درجه سانتی‌گراد و فشار 9kbar و ۴۵۰ درجه سانتی‌گراد و فشار 7kbar محاسبه گردید. این مجموعه تحت تأثیر دو فاز دگرگونی و دگرشکلی سنگ‌ها را تحت تأثیر قرار داده‌اند. دگرشکلی دوم در منطقه همراه با اوج دگرگونی بوده است. کاهش دمای حدود ۳۵۱ درجه سانتی‌گراد به ازای کاهش فشار حدود 2kbar در سنگ‌های رسی دگرگون شده منطقه مورد مطالعه دیده می‌شود.

واژه‌های کلیدی: شیمی کانی‌ها، سنگ‌های رسی دگرگون، ارغون، شمال‌غرب ایران.

محاسبات دماسنجی و فشار سنجدی براساس شرایط تعادلی و روابط ترمودینامیکی صورت می‌گیرد (Will, 1995). بیشتر دماسنج‌ها براساس واکنش‌های تبادل کاتیون به‌ویژه تبادل Mg و Fe در بین کانی‌ها بنا شده‌اند (Spear, 1993). این واکنش‌ها ΔV کوچک ولی تغییرات آنتالپی و آنتروپی

مقدمه

یکی از اهداف مهم سنگ‌شناسی دگرگونی، برآورده دما و فشار تشکیل سنگ به منظور شناسایی ماهیت دگرگونی و شرایط زمین‌ساختی پوسته است. در زمین‌شناسی، بیشتر

فاز دگرگشکلی و دگرگونی همراه بوده است (ساکی، ۱۳۸۲؛ ساکی و همکاران، ۱۳۸۱؛ مؤذن و همکاران، ۱۳۸۱). منطقه جنوب‌غرب ماهنشان دارای ترکیب متنوعی از سنگ‌های گرانولیت، متابازیت، آمفیبولیت‌ها، گنیس‌ها، میگماتیت‌ها و سنگ‌های متالولترامافیک، میکاشیست‌ها و سنگ‌های جهت‌یافته و گرانیتوئیدها است (Hajjalioghli et al., 2007; Moazzen et al., 2009; Moazzen et al., 2007) مهمنترين سنگ‌های منطقه مورد مطالعه عبارتند از تناوبی از گنیس، مرمر و آمفیبولیت که با ضخامت‌های متفاوت بروزند دارند. سن دقیق این واحدهای سنگی مشخص نیست ولی با توجه به روابط چینهای در نقشه‌های زمین‌شناسی ماهنشان و تخت سلیمان، سن قبل از کامبرین برای آن‌ها در نظر گرفته شده است (شکل ۱). سنگ‌های وابسته به این واحد، بروزند گستردۀ آهک‌های قدیمی موسوم به آهک جان گوتاران است. که ارتفاعات بلندی را در جنوب منطقه ایجاد کرده است. سنگ‌های بازیک و التربازیک که گاه دارای MgO بالای هستند و به عنوان کوماتئیت‌های دگرگون معرفی شده‌اند (Hajjalioghli et al., 2007) در منطقه بروزند دارند. بخش فوقانی این واحد سنگی دگرگون که قبل از کامبرین در نظر گرفته شده‌اند، تناوبی از میکاشیست‌های گارنت‌دار و کوارتزیت است. سنگ‌های رسوبی و آتش‌فشانی دوران سوم و رسوبات دوران چهارم سنگ‌های دگرگونی را می‌پوشانند. قدیمی‌ترین پروتولیت پوسته‌ای تکاب سنی در حدود 2961 ± 72 Ma دارد (U^{238}/Pb^{207}) و $2575 - 2775$ (U/Pb zircon dating) and Hajjalioghli (Hajjalioghli, 2007, 2008)؛ که این مشابه سن پروتولیت خردۀ قاره ایران مرکزی است. دگرگونی منطقه مورد مطالعه و ناحیه تکاب مربوط به زمان پرکامبرین است و در اثر دگرگونی درجه بالای زمان ترشییر نیز دوباره دگرگون شده و تولید میگماتیت و گرانیتوئید نموده است (Moazzen et al., 2013). این فرآیندها بسیار مشابه دگرگونی ایران مرکزی است (Ramezani and Tucker, 2003).

میگماتیت‌زانی سنگ‌های پوسته‌ای ناحیه تکاب در حدود 25 سال قبل اتفاق افتاده است. این سن براساس سن‌یابی U/Pb در کانی زیرکن از بخش لوکوسنم (روشن) میگماتیت‌ها

بزرگی دارد. روش دما‌سنجی و فشارسنجی را تنها زمانی می‌توان بکار برد که بافت کانی‌ها در سنگ و روابط پاراژنیکی بین کانی‌های موجود در سنگ به خوبی درک شده باشد و بعلاوه طی آن‌ها بتوان نشان داد مجموعه کانی‌های سنگ مورد مطالعه در حالت ناتعادلی نیستند (Will, 1995). بکارگیری روش‌های دما و فشارسنجی برای مجموعه کانی‌های بدون تعادل و روابط بافتی خوب شناخته نشده احتمالاً بزرگترین منشأ خطا در برآورده P-T است. مatasفانه نمی‌توان وجود تعادل کانی‌شناسی و در نتیجه تعادل ترمودینامیکی را به صورت صدرصد ثابت کرد اما می‌توان از برخی شواهد برای شناخت عدم تعادل سود جست (Seifert, 1978; Spear and Peacock, 1989).

هدف از مطالعه شیمی کانی‌های دگرگونی تعیین نوع کانی‌های موجود در سنگ‌های دگرگونی با توجه به ترکیب شیمیایی آن‌ها، تعیین شیمی کانی‌ها در پهنه دگرگونی (اوج دگرگونی) محاسبه اکتیویته اعضای نهایی کانی‌ها برای رسم نمودارهای فازی و تعیین فشار و دمای دگرگونی است. در این کار پژوهشی به سنگ نگاشت، روابط بافتی، شیمی کانی و دما-فشارسنجی بر پایه روش‌های مختلف در منطقه کوه ارغون پرداخته شده است. برای این منظور توجه به بافت سنگ‌ها، روابط پاراژنی، بررسی دگرگشکلی‌ها و برآورده فشار دمای دگرگونی با در نظر گرفتن ترکیب شیمیایی کانی‌ها صورت گرفته است. در این مقاله سعی شده است با بررسی سنگ‌های متاپلیتی، علاوه بر تعیین تعداد فازهای دگرگشکلی و دگرگونی مؤثر بر منطقه، کانی‌های در حال تعادل تعیین شده و سپس با توجه به ترکیب شیمیایی کانی‌ها شرایط دما و فشاری دگرگونی اصلی ناحیه‌ای مشخص شود.

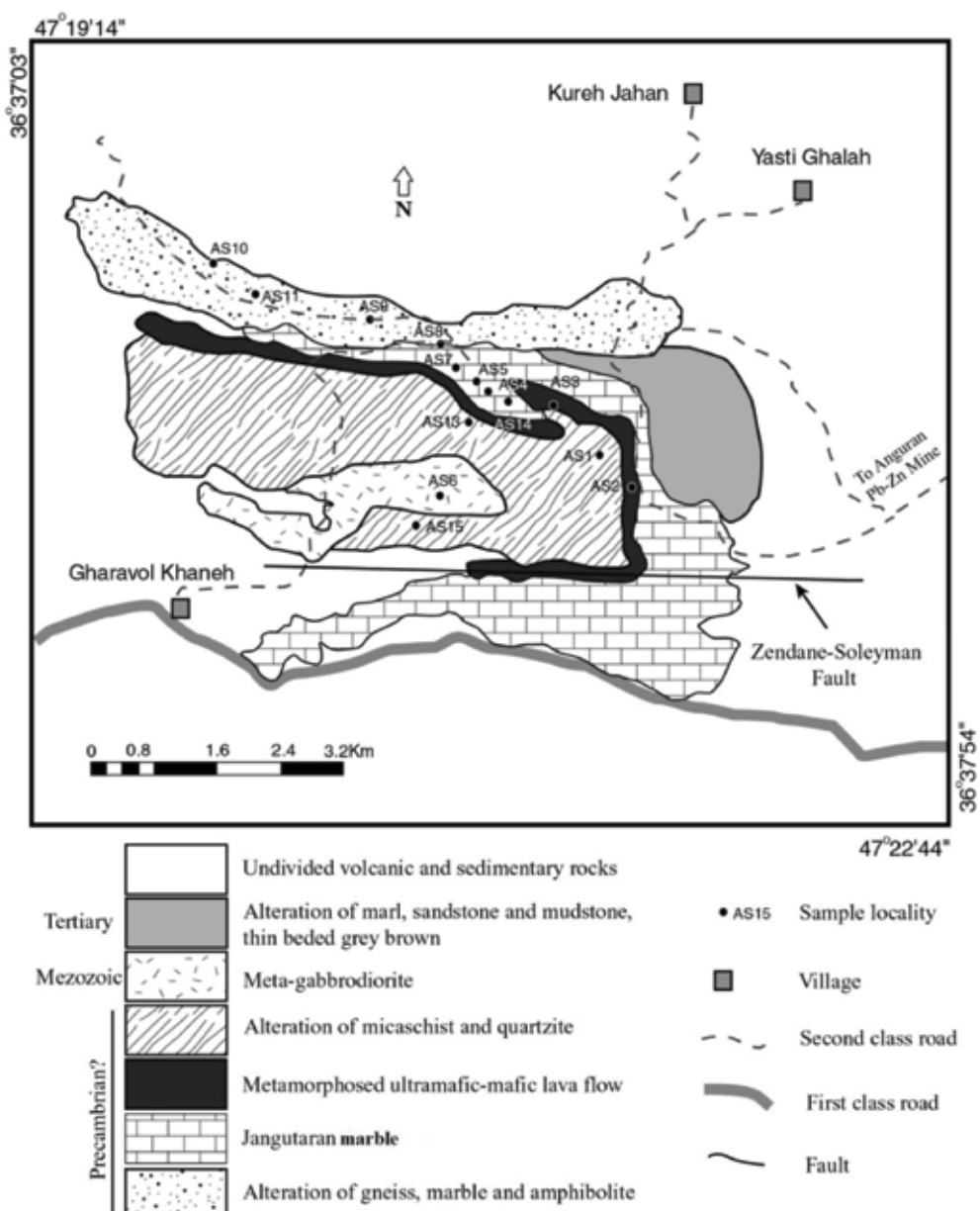
زمین‌شناسی: منطقه مورد مطالعه در استان زنجان و در جنوب‌غرب شهرستان ماهنشان قرار دارد. این منطقه بین طول‌های جغرافیایی $44^{\circ} ۴۴' ۲۲' ۰۲'$ و $47^{\circ} ۱۹' ۱۴'$ شرقی و عرض‌های جغرافیایی $۳۷' ۵۴'' ۳۶' ۳۷' ۰۳'$ شمالی و در پهنه ایران مرکزی قرار گرفته است (Berberian and King, 1982). دگرگونی پلیت‌ها به همراه سنگ‌های کالک‌سیلیکات و متابازیت به صورت ناحیه‌ای قبل از کامبرین اتفاق افتاده است و با حوادث تکتونیک‌مال پیچیده‌ای با چندین

در حالت تعادل برای مطالعات بعدی انتخاب شد. برای تعیین دقیق دما و فشار مجموعه دگرگونی مورد مطالعه دو نمونه مقطع نازک و صیقلی از سنگ‌هایی که دارای کانی‌های اوچ دگرگونی می‌باشند به روش الکترون مایکروپریوب در مرکز تحقیقات فرآوری مواد معدنی ایران با دستگاه مدل Cameca SX100 شرکت ۱۵ کیلوولت و اندازه پرتو الکترونی ۳ میکرون برای تجزیه‌ها انتخاب شد. از استانداردها برای کالیبراسیون دستگاه استفاده شد.

(Hajialioghli, 2007; Moazzen and Hajialioghli, 2008; Moazzen et al., 2013)

روش مطالعه

پس از مطالعات صحرایی، تعداد ۲۹ مقطع نازک میکروسکوپی به منظور مطالعات سنگ‌نگاری، دگرشكلي و روابط پetrofabirیک مورد بررسی قرار گرفتند و شناسایی فازهای دگرگونی و دگرشكلي در این سنگ‌ها به دقت انجام پذیرفت. دو نمونه متابولیت با بالاترین تعداد فازهای کانیایی

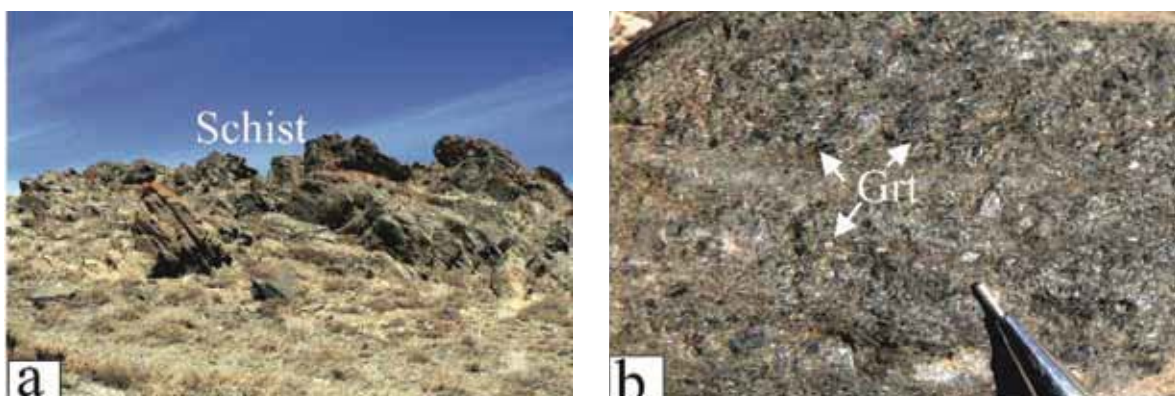


شکل ۱. نقشه زمین‌شناسی منطقه مطالعه همراه با محل برداشت نمونه‌ها (اقتباس از نقشه ۱:۱۰۰۰۰۰ تخت سلیمان)

مطالعات صحرایی و پتروگرافی شیستهای پلیتی

واضح است. در برخی نمونه‌ها ساختارهای برشی ناشی از فازهای تکتونیکی دیده می‌شوند. بافت این سنگ‌ها معمولاً لپیدوگرانوبلاستی می‌باشد که در آن بیوتیت و موسکویت بافت لپیدوبلاستی و کوارتز و گارنت بافت گرانوبلاستی را به وجود آورده‌اند. مجموع کانی‌های اصلی و فرعی موجود در سنگ‌های متاپلیت کوه ارغون در جدول ۱ آورده شده است. اکثر کانی‌ها اثرات ناشی از تکتونیک، مانند خاموشی موجی، تجدید تبلور و کشیدگی در بلورهای کوارتز و ماکلهای حاصل از دگرگشکلی در پلاژیوکلازها نشان می‌دهند. گارنت و فلدسپار معمولاً حاوی ادخال‌هایی از کوارتز و میکا می‌باشند و بعضی از آن‌ها دو مرحله رشد را به خوبی نشان می‌دهند.

واحدهای چینه سنگی مجموعه کوه ارغون را می‌توان به سه دسته اصلی تقسیم کرد. دسته اول شامل سنگ‌های متاپلیتی، دسته دوم سنگ‌های متایاگزیت و دسته سوم شامل سنگ‌های کربناتی دگرگون شده است. بیشترین گسترش سنگ‌های متاپلیت در شمال و بخش مرکزی منطقه و به صورت میان‌لایه در دیگر بخش‌های منطقه مورد مطالعه می‌باشد (شکل ۲-a). سنگ‌ها در نمونه دستی به رنگ خاکستری و قهوه‌ای با گارنت‌های نسبتاً درشت دیده می‌شوند (شکل ۲-b). مشخص‌ترین ساخت آن‌ها شیستوزیته



شکل ۲. a) نمایی از شیستهای منطقه (دید به سمت شمال). b) دانه‌های نسبتاً درشت گارنت در نمونه صحرایی

جدول ۱. مجموع کانی‌های موجود در سنگ‌های متاپلیت منطقه مورد مطالعه (علائم اختصاری از Whitney and Evans, 2010)

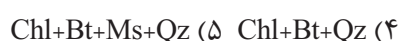
Sample No	GR		Chl	Bt	Ms	Qz	Fsp	Grt	Cal	Amp	Pl	Ep	Zrc	Ore	Ap
AS-6A	N36°38'41"	E47°22'06"	*	*	*	*							0	0	
AS-10	N36°39'22"	E47°19'37"		*	*	*	*							0	
AS-7	N36°38'51"	E47°21'46"		*	*	*			0		0		0	0	0
AS-11D	N36°39'36"	E47°19'09"		*	*	*	*	*							
As-11E	N36°39'36"	E47°19'09"	*	*	*	*	*	*						0	
AS-11C	N36°39'36"	E47°19'09"		*	*	*	*	*							
AS-11B	N36°39'36"	E47°19'09"	*	*	*	*	*	*		0			0	0	
AS-15	N36°37'29"	E47°21'27"	*		*	*	*		0	0	0		0		

* = Major phase 0=Minor phase

گارنت‌ها تجزیه شده‌اند و در حاشیه و شکستگی‌ها توسط بیوتیت، کلریت و اکسید آهن جایگزین شده‌اند. این گارنت‌ها دارای شکستگی‌های موازی می‌باشند که به احتمال زیاد شکستگی‌ها حاصل بالاً‌آمدگی و رهایی از فشار هستند (شکل ۳-۳). شکستگی‌های مشابه در سنگ‌ها نیز دیده می‌شوند (شکل ۳-d). در بعضی موارد گارنت به صورت خودشکل و ریزدانه دیده می‌شود (شکل ۳-e). بلورهای کوارتز کشیده با دانه‌های بزرگ فلدسپار با ادخال‌های کوارتز و مسکویت برخلاف مسکویت‌های زمینه جهت‌گیری کردند که نشان‌دهنده دو فاز دگرشکلی S_1 و S_2 است (شکل ۳-f). در بعضی قسمت‌ها اطراف پورفیربلاست‌ها سایه فشاری دیده می‌شود که نشان دهنده تشکیل پورفیربلاست‌ها قبل از دگرشکلی اصلی می‌باشد. کوارتز‌ها در این بخش خاموشی موجی نشان می‌دهند (شکل ۳-g).

موسکویت شیست‌ها

این سنگ‌ها دارای بلورهای ریز‌فلدسپار، کواتز، مسکویت و کلریت می‌باشند. بافت موجود در این شیست‌ها گرانولپیدوبلاستی است. این سنگ‌ها دارای فلدسپارهایی با ادخال‌های مسکویت هستند. بلورهای مسکویت تحت تأثیر فاز دگرشکلی غالب در منطقه به صورت کشیده و با محور C عمود بر حداقل تنش وارد متببور شده است (شکل ۳-h). مطالعه مکروسکوپی و میکروسکوپی سنگ‌های متاپلیت کوه ارغون دو فاز دگرشکلی اصلی در منطقه را به اثبات رساند، که این دو فاز دگرشکلی با دو فاز دگرگونی همراه بوده است (سرخوشی، ۱۳۹۰). پارازنژهای اصلی موجود در سنگ‌های متاپلیت مطالعه شده، به علاوه پلاژیوکلاز و کانی‌های تیره عبارتند از:

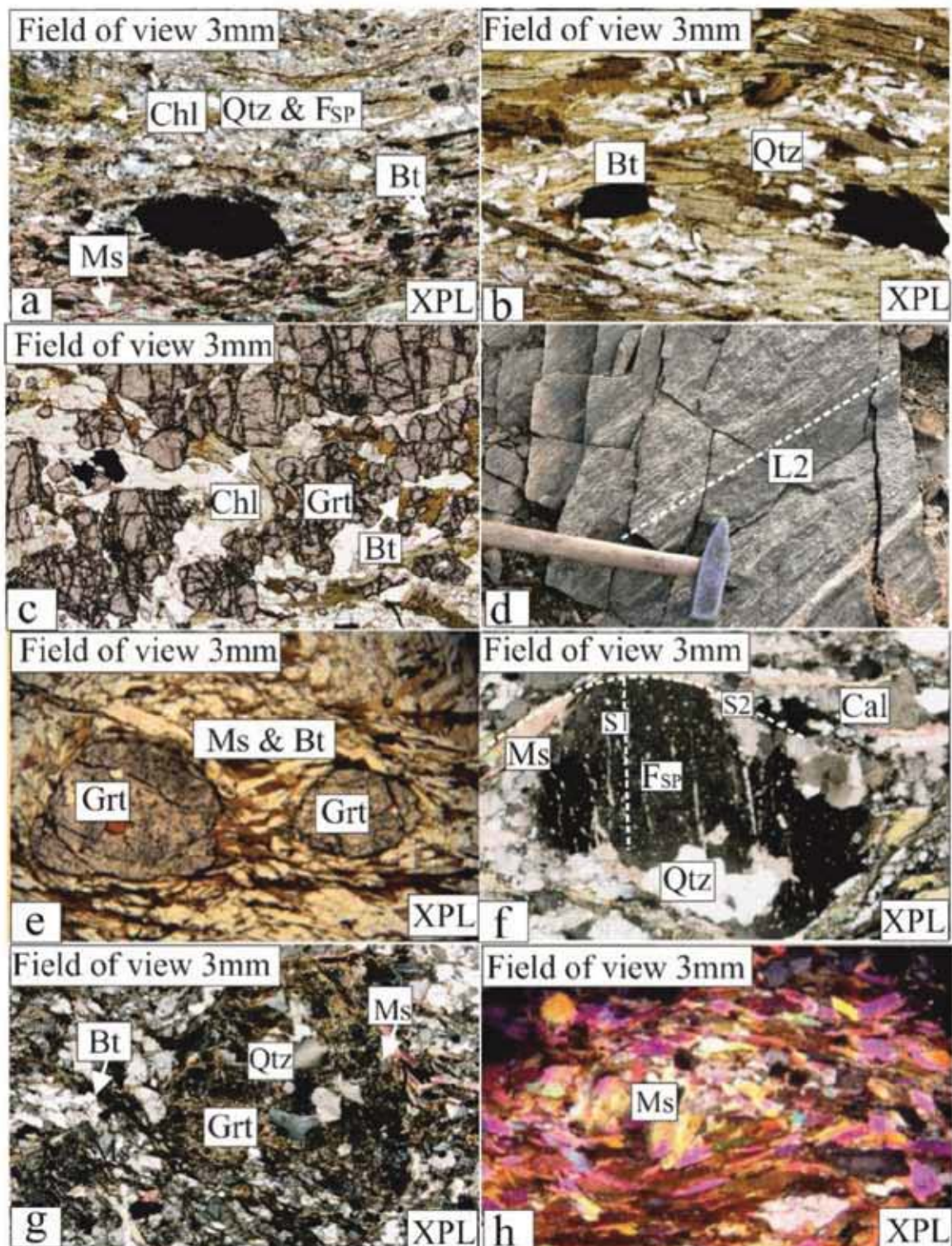


با مطالعات پتروگرافی بر روی سنگ‌های متاپلیت کوه ارغون سه گروه سنگی اصلی بیوتیت‌شیست‌ها، گارنت‌شیست‌ها و مسکویت‌شیست‌ها مشخص شد.

بیوتیت شیست‌ها: رنگ این شیست‌ها در نمونه دستی خاکستری می‌باشد. این شیست‌ها دارای بافت گرانوبلاستی، لپیدوبلاستی، پورفیربلاستی و پوئی‌کیلوبلاستی می‌باشند. کوارتز و فلدسپار (به صورت microlithon domain cleavage) در بین لایه‌های مسکویت و بیوتیت (به صورت domain) قرار گرفته‌اند. در بعضی نمونه‌ها مرز زیگزاگ کوارتز با کانی‌های کلریت و مسکویت و همچنین کوارتزهای سایه فشاری به وجود آمده است که نشان‌دهنده رشد پورفیربلاست‌ها در فشار نسبتاً بالا می‌باشد. بافت چشمی از جنس فلدسپار از دیگر ویژگی‌های برخی نمونه‌ها است (شکل ۳-a). بیوتیت‌شیست‌های مطالعه شده دارای بیوتیت‌های کشیده و مقادیر کمتری مسکویت‌های کشیده و دارای بافت لپیدوگرانوبلاستی هستند (شکل ۳-b).

جهت‌گیری کانی‌های مسکویت و بیوتیت شیستوزیت سنگ را ایجاد کرده است.

گارنت شیست‌ها: این شیست‌ها دارای بافت گرانوبلاستی، پورفیربلاستی، پوئی‌کیلوبلاستی و لپیدوبلاستی بوده و دارای فولیاسیون واضح با بلورهای گارنت هستند. کانی‌های اصلی این سنگ‌ها عبارت است از گارنت، میکا و کوارتز که تشکیل دهنده برگوارگی سنگ هستند. از جمله کانی‌های فرعی می‌توان به پلاژیوکلاز و کانی‌های تیره اشاره کرد. اغلب گارنت‌ها پوئی‌کیلوبلاستی بوده و اغلب دارای ادخال‌های فراوان از کوارتز و مسکویت هستند. ادخال‌های کوارتز معمولاً کشیدگی داشته و برگوارگی درونی گارنت را می‌سازند. برخی گارنت‌ها دارای سایه‌فشاری هستند که از هر دو نوع متقارن و نامتقارن است. در بعضی موارد به علت عملکرد دگرگونی برگشتی،



شکل ۳. a) نمونه شیست با بافت چشمی (جنس چشمها از فلدسپار است) که نشان‌دهنده اعمال فشار بر این سنگ‌ها بوده است، b) بیوتیت‌شیست با بیوتیت‌های کشیده که در اثر فاز دگرشكلي غالب بهصورت کشیده قرار گرفته‌ند، c) بلورهای گارنت با شکستگی موازی در حال تجزیه به بیوتیت و کلریت که نشان‌دهنده دگرگونی پس‌رونده است، d) شکستگی‌های حاصل از رهایی سنگ، e) گارنت‌های خودشکل و ریزبلور که نشان‌دهنده رشد بعد از دگرشكلي است، f) آثار درون پورفیروبلاست‌های فلدسپار، g) گارنت‌شیست همراه با کوارتز‌های دارای خاموشی موجی، h) مسکویت‌شیست با مسکویت‌های کشیده و جهت‌یافته که طی فاز دگرشكلي دوم بدین صورت قرار گرفته‌اند، علائم اختصاری عبارتند از: Chl:Chlorite, Ms:Muscovite, Bt:Biotite, Qtz: Quartz, Grt: Garnet, Fsp:Feldspar)

شامل کانی‌های میکا و کوارتز پهن شده است، این گارنت‌ها را دور می‌زند. رشد بعد از دگرشکلی D_2 بیشتر در گارنت میکاشیست‌ها دیده می‌شود. برخی از این گارنت‌ها شکل‌دار بوده و برگوارگی S_2 را قطع می‌کنند.

شیمی کانی‌ها در سنگ‌های متاپلیت کوه ارغون
کانی‌های گارنت، پلاژیوکلاز، میکای سفید، کلریت و بیوتیت به روش الکترون مایکروپریوب مورد تجزیه شیمیایی قرار گرفته‌اند که در ادامه به توضیحات هر کدام از این کانی‌ها پرداخته شده است.

شیمی گارنت

جدول ۲ تجزیه‌های معرف گارنت را نشان می‌دهد. فرمول گارنت بر اساس ۱۲ اتم اکسیژن محاسبه شده است $97/0.2 X_3 Y_2 Z_3 O_{12}$. مجموع اکسیدهای این کانی بین ۹۸/۸۲ تا ۹۸/۸۴ می‌باشد و مقدار Ti خیلی کم است. ترکیب شیمیایی گارنت‌های تجزیه شده بر روی نمودار سه تابی Mg (Fe+Mn), Ca, (Fe+Mn) در (شکل ۴) مشخص شده است که نشان می‌دهد گارنت‌های مطالعه شده بیشتر از نوع آلماندین و اسپسارتین می‌باشند.

شیمی پلاژیوکلاز

جزیه‌های معرف پلاژیوکلاز در جدول ۲ آمده است. فرمول پلاژیوکلازها بر اساس ۸ اتم اکسیژن محاسبه شده است $a-5 XY_2 Z_2 O_8$. شکل ۵ و b تقسیم‌بندی پلاژیوکلازها را بر روی نمودار سه تابی (Ca, Na, K) نشان می‌دهد. پلاژیوکلازهای مطالعه شده دارای ۷۰ تا ۸۰ درصد آلبیت، ۲۰ تا ۳۰ درصد آنورتیت و مقدار خیلی کمی اورتوز می‌باشد.

شیمی میکای سفید

آنالیزهای مایکروپریوب میکای سفید در جدول ۲ آمده است. فرمول ساختمانی میکای سفید به ازای ۱۱ اکسیژن محاسبه شده است. مجموع اکسیدهای میکاهای بین ۹۲/۲۳ تا ۹۴/۰۶ می‌باشد. شکل ۶-a- تقسیم‌بندی میکای سفید بر روی نمودار (Vidal and Parra, 2000) $Al \pm K \pm (Fe.Mg)$

طبقه‌بندی ارتباط پورفیروبلاست با زمینه (ماتریکس) در گارنت‌شیست‌ها

پورفیروبلاست‌ها حاوی طرح‌های داخلی، اطلاعاتی را از حوادث دگرگونی و دگرشکلی اولیه و طبیعت آن‌ها در سنگ ارائه می‌دهند که سن نسبی رشد بلور و دگرشکلی را مشخص می‌سازد. مطالعه پتروفابریک گارنت‌های موجود در منطقه کوه ارغون و ارتباط آن با زمینه سنگ مشخص می‌کند که این گارنت‌ها طی دو مرحله قبل و بعد از تکتونیک رشد کرده‌اند.

مرحله پیش-تکتونیک¹

در این حالت بلورها توسط تغییر شکل‌هایی که شیستوزیته را به وجود آورده‌اند متأثر شده‌اند. مثلاً خرد شده و مجدد قطعات آن‌ها بهم جوش خورده‌اند (خاموشی موجی، ماکلهای مکانیکی، چرخشی و غیره) این بلورها در صورت سخت و محکم بودن، مناطق سایه فشاری را از رشد سایر کانی‌ها به وجود می‌آورند (شکل ۳-g). Hobbs et al., 1976. کانی‌هایی که قبل از فازهای دگرشکلی در سنگ وجود داشته‌اند زمانی که ادخال و یا شیستوزیته در آن وجود دارد، شیستوزیته درون پورفیروبلاست (Si) و شیستوزیته زمینه (Se) هم‌دیگر را قطع می‌کنند (شکل ۳-f). همچنین این گارنت‌ها با کوارتز‌های سایه فشاری همراه هستند.

مرحله پس از تکتونیک²

تشخیص این گروه از پورفیروبلاست‌ها به دلیل نبود انکسار Se، سایه‌های کرنشی، خاموشی موجی یا دیگر شواهد دگرشکلی که معمولاً برای حالت‌های پیش و همزمان، معمول است خیلی آسان می‌باشد. اگر ادخال‌ها موجود باشند Si با Se ممتد است، حتی اگر چین خورده باشند. پورفیروبلاست‌های تشکیل شده در این فاز اکثراً خودشکل و ریز بلور می‌باشند (شکل ۳-e). در مقاطع مطالعه شده، دو نسل از این پورفیروبلاست‌ها قابل تشخیص است. رشد نسل اول گارنت‌ها، به صورت قبل از دگرشکلی بوده که برگوارگی داخلی S_1 به صورت مستقیم و خمیده در آن‌ها دیده می‌شوند. این نسل از گارنت‌ها دارای سایه کرنش هستند که از کوارتز و فلدسپار پر شده‌اند. برگوارگی که

1. Pre-tectonic phase

2. Post-tectonic phases

شیمی بیوپیت

تجزیه‌های معرف بیوپیت در جدول ۲ دیده می‌شوند. فرمول بیوپیت‌ها بر اساس ۱۲ اکسیژن محاسبه شده است. بیوپیت‌های مطالعه شده عمدتاً فلوگوپیت و آنیت هستند. مقدار اعضای نهایی کانی‌های گارنت، پلازیوکلاز، مسکوپیت و بیوپیت در محلول جامد این کانی‌ها توسط نرم افزار AX (Holland and Powell, 1998) محاسبه شده است (Holland and Powell, 1998) نتایج آن در جدول ۴ آورده شده است.

نشان می‌دهد. میکاهای مطالعه شده عمدتاً مسکوپیت می‌باشد و عضو انتهایی سلادونایت بسیار کم است.

شیمی کلریت

آنالیزهای مایکروپرور در جدول ۲ آمده است. فرمول کلریت به ازای ۱۴ اکسیژن محاسبه شده است. مجموع اکسیدهای کلریت بین ۸۶/۷۹ تا ۸۴/۷۹ می‌باشد. (شکل ۶-۶) تقسیم‌بندی کلریت را بر روی نمودار (Fe.Mg/Si \pm Al \pm) (Vidal and Parra, 2000) نشان می‌دهد. کلریت‌های مطالعه شده بیشتر آسمیت و سدیت می‌باشد و عضو نهایی دافینیت^۳ و کلینوکلر^۴ کم است.

جدول ۲. آنالیز مایکروپرور مسکوپیت، پلازیوکلاز و گارنت در نمونه‌ها

Mineral	Plagioclase						Garnet						
	Muscovite		AS11E			AS11C		AS11E			Garnet		
	Section	AS11C	Pl	Pl	Pl	Pl	Pl	Girt	Girt	Girt	Girt		
Wt%Oxides	Ms1	Ms2	58.90	59.37	59.62	60.40	59.88	60.18	38.82	37.46	36.22	38.88	37.17
SiO ₂	44.17	45.04	BD	BD	BD	BD	BD	BD	0.03	0.34	0.07	0.06	0.03
TiO ₂	0.50	0.37	24.50	23.76	23.00	24.69	24.45	23.45	20.88	20.57	21.49	19.47	21.31
Al ₂ O ₃	36.05	36.57	BD	BD	BD	BD	BD	BD	30.5	28.16	29.4	29.5	30.97
FeO	BD	0.46	BD	BD	BD	BD	BD	BD	1.21	1.18	1.01	0.98	1.09
MnO	BD	BD	0.09	0.09	BD	0.06	0.09	0.09	3.68	2.42	2.70	2.64	4.64
MgO	0.79	0.76	4.68	5.38	4.91	5.08	5.15	5.85	3.69	7.01	6.76	6.56	1.81
CaO	0.03	0.08	9.59	9.46	9.27	10.21	8.51	8.81	BD	BD	BD	BD	BD
Na ₂ O	1.78	1.93	0.33	0.29	0.24	0.35	0.25	0.37	BD	BD	BD	BD	BD
K ₂ O	8.91	8.85	98.06	98.35	97.04	100.79	98.33	98.75	98.81	97.14	97.65	98.09	97.02
Total	92.23	94.06											
formula	11(O)	11(O)	8(O)	8(O)	8(O)	8(O)	8(O)	12(O)	12O	12(O)	12(O)	12(O)	
Si	3.01	3.014	2.681	2.699	2.736	2.683	2.706	2.72	3.08	3.048	2.951	3.136	3.019
Ti	0.026	0.019	BD	BD	BD	BD	BD	BD	0.0017	0.0208	0.0042	0.0036	0.0018
Al	2.895	2.884	1.314	1.273	BD	1.293	1.302	1.249	1.961	1.972	2.064	1.851	2.04
Fe ⁺²	BD	0.026	BD	BD	BD	BD	BD	BD	2.032	1.916	2.003	1.99	2.103
Mn	BD	BD	BD	BD	BD	BD	BD	BD	0.0816	0.813	0.0697	0.669	0.0749
Mg	0.08	0.076	0.006	0.006	BD	0.004	0.006	0.006	0.437	0.293	0.327	0.317	0.561
Ca	0.002	0.006	0.228	0.262	0.241	0.242	0.249	0.283	0.315	0.611	0.59	0.567	0.157
Na	0.235	0.25	0.847	0.834	0.82	0.879	0.749	0.772	BD	BD	BD	BD	BD
K	0.774	0.755	0.019	0.017	0.014	0.02	0.014	0.021	BD	BD	BD	BD	BD
Total	7.022	7.029	5.095	5.09	5.061	5.12	5.023	5.052	7.92	7.94	8.01	7.93	7.96

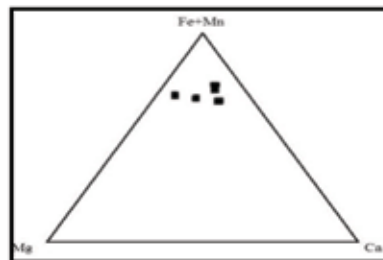
1. Amesite
2. Sudoite
3. Daphnite
4. Clinochlore

جدول ۳. نتایج حاصل از آنالیز مایکروپروب کانی‌های بیوتیت و کلریت در نمونه‌ها

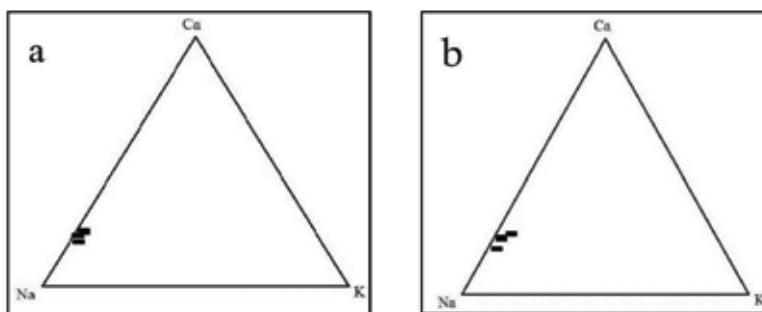
Mineral	Biotite								Chlorite			
	AS11E				AS11C				AS11C			
Section	Bt1	Bt2	Bt3	Bt4	Bt5	Bt6	Bt7	Bt8	Bt1	Bt2	Chl1	Chl2
Wt%Oxides												
SiO ₂	35.33	40.34	39.23	39.80	39.23	36.36	36.79	37.86	36.46	37.80	23.74	25.38
TiO ₂	2.18	2.05	2.20	2.35	2.05	1.20	1.45	1.47	1.22	1.38	0.05	0.05
Al ₂ O ₃	17.73	16.36	16.4	16.804	16.67	18.57	16.92	17.29	16.75	15.30	22.08	20.71
FeO	17.78	12.63	16.63	15.908	17.29	13.09	17.59	17.39	16.11	15.50	25.95	26.02
MnO	0.09	0.05	0.09	0.04	0.03	0.01	0.06	0.04	0.07	0.07	0.14	0.20
MgO	12.82	11.04	11.68	12.203	11.94	13.10	11.31	11.99	11.87	12.27	14.25	12.29
CaO	0.04	0.08	0.09	0.06	0.10	0.04	0.01	0.01	1.10	0.83	0.20	0.14
Na ₂ O	0.45	0.74	0.73	0.75	0.68	3.45	0.92	0.52	0.59	0.80	0.00	0.00
K ₂ O	8.45	8.96	8.50	8.52	7.77	8.85	9.16	8.88	8.04	8.27	0.00	0.00
Total	94.87	92.25	95.55	96.63	95.76	94.67	94.21	95.45	92.21	92.45	86.23	84.79
formula	12(O)	12(O)	12(O)	12(O)	12(O)	12(O)	12(O)	12(O)	12(O)	12(O)	14(O)	14(O)
Si	2.921	3.309	3.172	3.17	3.159	2.97	3.065	3.088	3.07	3.17	2.563	2.779
Ti	0.135	0.126	0.134	1.40	0.124	0.074	0.09	0.09	0.077	0.087	0.004	0.004
Al	2.158	1.581	1.563	1.578	1.581	1.788	1.661	1.662	1.662	1.518	2.809	2.673
*Fe ²	1.228	.866	1.124	1.062	1.164	0844	1.225	1.185	1.134	1.089	2.343	2.383
Mn	0.006	0.003	0.006	0.002	0.002	0.001	0.004	0.003	0.005	0.005	0.013	0.019
Mg	1.579	1.35	1.408	1.449	0.433	1.596	1.405	1.457	1.49	1.531	2.293	2.006
Ca	0.003	0.006	0.007	0.005	0.008	0.003	0.001	.001	0.099	0.074	0.002	0.016
Na	0.072	0.117	0.114	0.115	0.105	0.546	0.148	0.081	0.096	0.129	BD	0.00
K	0.891	0.938	0.877	0.864	0.798	0.922	0.973	0.924	.800	0.883	BD	0.00
Total	8.993	8.296	8.405	8.385	7.374	8.744	8.572	8.491	8.43	8.49	10.028	9.88

جدول ۴. اعضای نهایی محاسبه شده کانی‌ها توسط نرم‌افزار AX (Holland and Powell, 1998)

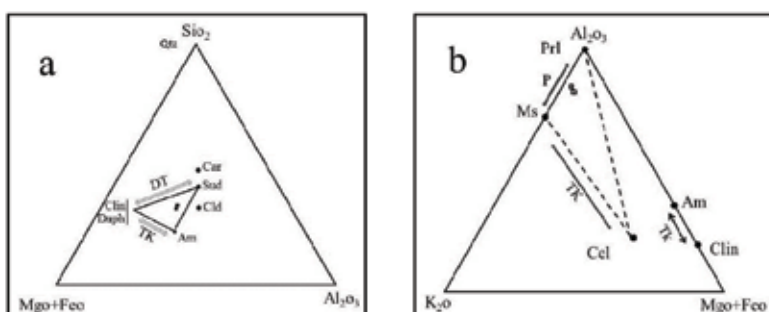
Section	AS11E								AS11C				
	Mineral	Bt1	Bt2	Bt3	Bt4	Bt5	Bt6	Bt7	Bt8	Bt1	Bt2	Ms1	Ms2
End Member	Phl	0.064	0.07	0.064	0.07	0.066	0.094	0.065	0.073	0.08	0.075	-	-
	Ann	0.019	0.015	0.032	0.026	0.034	0.015	0.043	0.037	0.029	0.032	-	-
	En	0.07	0.036	0.039	0.043	0.041	0.071	0.046	0.049	0.042	0.049	-	
	Ms	-	-	-	-	-	-	-	-	-	-	0.77	0.75
	Cel	-	-	-	-	-	-	-	-	-	-	0.02	0.017
End member	Mineral	Grt1	Grt2	Grt3	Grt4	Grt5	Pl1	Pl2	Pl3	Pl1	Pl2	Pl3	
	Prp	0.0068	0.0032	0.004	0.0031	0.0113	-	-	-	-	-	-	
	Grs	0.002	0.0115	0.0112	0.0085	0.00031	-	-	-	-	-	-	
	Alm	0.27	0.23	0.25	0.23	0.33	-	-	-	-	-	-	
	Sps	0.001	0.0017	0.0011	0.0084	0.0014	-	-	-	-	-	-	
	An	-	-	-	-	-	0.35	0.41	-	0.35	0.39	0.37	
	Ab	-	-	-	-	-	0.78	0.75	-	0.78	0.76	0.77	
	Sa	-	-	-	-	-	-	-	0.83	-	-	-	



شکل ۴. ترکیب شیمیایی گارنت تجزیه شده در نمونه ها، (گارنت های مطالعه شده بیشتر از نوع آلماندین و اسپسارتین هستند)



شکل ۵. ترکیب شیمیایی پلازیوکلازهای تجزیه شده در نمونه ها. (a) پلازیوکلازهای مطالعه شده دارای ۷۰ تا ۸۰ درصد آلیت، ۲۰ تا ۳۰ درصد آنورتیت (نمونه AS11C)، (b) پلازیوکلازهای مطالعه شده دارای ۷۰ تا ۸۰ درصد آلیت، ۲۰ تا ۳۰ درصد آنورتیت (نمونه AS11E)



شکل ۶. ترکیب شیمیایی، (a) کلریت های مطالعه شده بیشتر آمسیت و سدیت می باشد و عضو نهایی دافینیت و کلینوکلر کم است، (b) مسکویت تجزیه شده، میکاهای مطالعه شده عمدتاً مسکویت می باشد و عضو انتهایی سلادونایت بسیار کم است

شکل های مربوطه روند تغییرات Mg و Ca به صورت عکس هم هستند که نشان دهنده جانشینی دوگانه بین آن ها است.

جدول ۵. تجزیه یک نمونه گارنت از مرکز به حاشیه.

	Fe	Mg	Mn	Al	Ca	Si
GrtCor	2.03	0.44	0.08	1.96	0.31	3.08
GrtInt	1.92	0.29	0.08	1.97	0.62	3.05
GrtInt	2.00	0.33	0.07	2.06	0.59	2.95
GrtRim	1.99	0.32	0.07	1.85	0.57	3.14

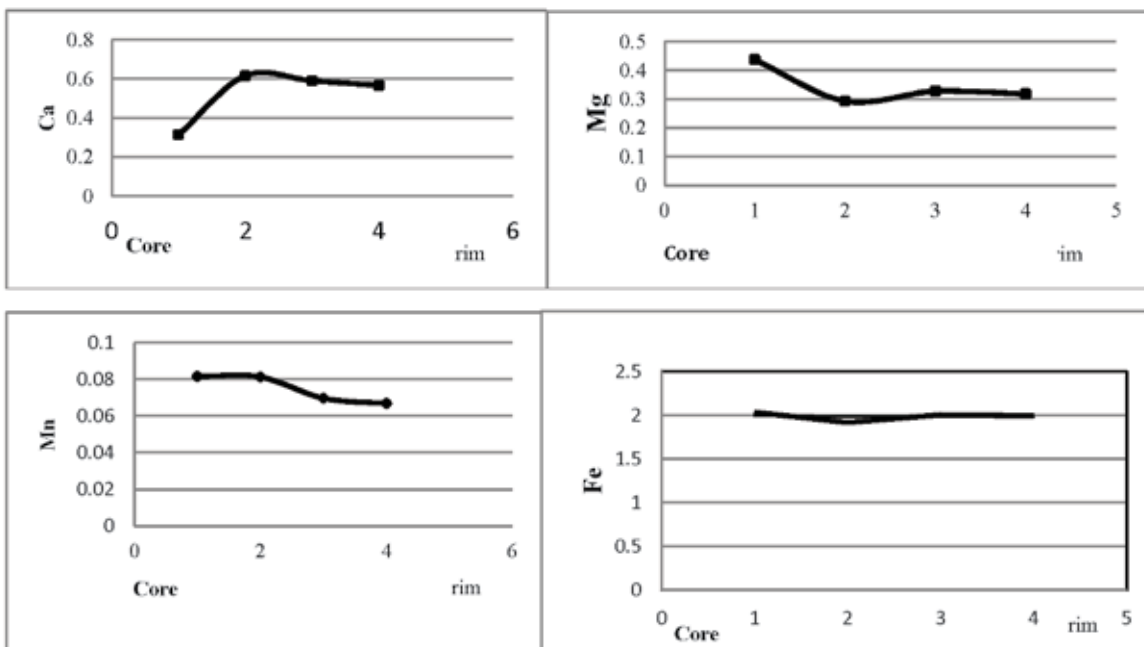
(نقطه مرکزی تجزیه پهنه هینگ گارنت)

(نقطه میانی تجزیه پهنه هینگ گارنت)

(نقطه حاشیه ای تجزیه پهنه هینگ گارنت)

بررسی پهنه هینگ گارنت در سنگ های متاپلیت (گارنت شیست ها) منطقه

تجزیه نمونه گارنت از مرکز به ظرف حاشیه در جدول ۵ آورده شده است. پهنه هینگ گارنت یکی از مهم ترین معیارها برای درک تاریخچه سنگ های دگرگونی است. پهنه هینگ گارنت در سنگ های مختلف منطقه در شکل ۷ نشان داده شده است. با توجه به این شکل ها به طور کلی می توان پهنه هینگ گارنت در منطقه مورد مطالعه را این گونه شرح داد. کاهش مقدار آلماندین، پیروپ، اسپسارتین همراه با افزایش گروسولار از مرکز به ظرف حاشیه دیده می شود. روند کاهش، تقریباً به طور نامنظم در اکسیدها دیده می شود. در



شکل ۶. نیمرخ منطقه بندی گارنت در سنگ‌های گارنت‌شیبیست منطقه مورد مطالعه

گارنت-بیوتیت به طریق تجربی، کالیبره شده است. در این بررسی از کالیبراسیون‌های زیر توسط محققین مختلف برای دما‌سنج گارنت-بیوتیت استفاده گردیده است که نتایج آن در جدول ۶ دیده می‌شود. جدول ۷ تجزیه‌های مایکروپریوب معرف گارنت-بیوتیت را در نمونه پلیتی نشان می‌دهد. واکنش تبادلی Fe-Mg بین فلوگوپیت-آنیت و آلماندین- $Mg_3Al_2Si_3O_{12}+KFe_3AlSi_3O_{10}(OH)_2$ به صورت $T=[4151+0.019P]/(Ferry \text{ and } Spear, 1978)$ می‌پریوپ به صورت $Fe_3Al_2Si_3O_{12}+KMg_3AlSi_3O_{10}(OH)_2$ است. دما‌سنج (Thompson, 1976) $\pm 50^{\circ}\text{C}$ معادله $T=[27.40+0.0254]/[LnK+1.56] \pm 50^{\circ}\text{C}$ را معرفی نموده است. Holdaway and Lee (1977) رابطه $T=[6150+0.0246P]/(Holdaway \text{ and } Lee, 1977)$ را در حارت و ضریب توزیع را به صورت $RLnK+3.93 \pm 50^{\circ}\text{C}$ اثبات کرده‌اند. کالیبراسیون (Perchuk and Lavent, 1983) از زمین دما‌سنج گارنت-بیوتیت به شکل $[3890+9.56P]/[2868 + LnK]$ است. کالیبراسیون‌های دیگر شامل Hodges and Spear, 1982 Indares and Martingnole, 1985; K= $(Fe/Mg)^{Bt}/(Fe/Mg)^{Gr}$ می‌باشد. در تمام معادلات P،

شرايط فشار- دمايی تشکيل سنگ‌هاي پليتي دگرگون شده منطقه دما-فشارسنجي

برای دما-فشارسنجي سنگ‌های متاپلیت از دو روش دما‌سنج تبادلی Fe-Mg گارنت-بیوتیت و واکنش‌های تعادلی چندگانه استفاده شد.

دما‌سنج تبادلی Fe-Mg گارنت-بیوتیت در سنگ‌های متاپلیتی کوه ارغون

توزیع Fe-Mg بین گارنت و بیوتیت تابع حرارت است (Ferry and Spear, 1978). به علت این‌که تغییرات حجمی صورت گرفته در طی تبادلات مورد نظر بسیار کم و تغییرات انتروپی نسبتاً زیاد می‌باشد، در نتیجه واکنش‌های تبادلی تا حد زیادی مستقل از فشار عمل می‌کند و برای استفاده به عنوان دما‌سنج مناسب هستند (Thompson, 1976). از بین همه زمین دما‌سنج‌ها، دما‌سنج تبادلی Fe-Mg گارنت-بیوتیت، متداول‌ترین دما‌سنج می‌باشد، زیرا برای سنگ‌های زیادی که طیف وسیعی از درجات دگرگونی را پوشش می‌دهند از کاربرد گسترده‌ای برخوردار است. دما‌سنج

Mg در گارنت و بالا بودن مقدار دمای حاصل از کالیبراسیون تامپسون نسبت به دیگر کالیبراسیون‌های استفاده شده و همچنین نزدیک بودن مقدار دمایی این کالیبراسیون به بقیه کالیبراسیون‌ها، از مقادیر دمایی حاصل از کالیبراسیون (Indares and Martingnole, 1985) تامپسون استفاده شده است. دماستنج (Martingnole, 1985) حرارت‌های حاصل را پایین‌تر نشان می‌دهد. با توجه به در نظر گرفتن مقدار Ti در بیوتیت و Mn در گارنت در مدل Indares and Martingnole حرارت‌های محاسبه شده پایین‌تر از دماستنج‌های دیگر هستند. پایین‌بودن حرارت طبق مدل (Indars and Martingnole, 1985) در مطالعات سنگ‌های دگرگونی حاوی گارنت-بیوتیت مناطق دیگر نیز مشخص شده است برای مثال (Moazzen, 1999).

فشار بر حسب بار، T درجه حرارت بر حسب سانتی‌گراد و R ثابت گازها می‌باشد. دمای بدست آمده برای معادلات مختلف با قرار دادن فشارهای متفاوت در این معادلات در جدول ۶ نشان داده شده است. همانطوری که ملاحظه می‌شود این دماستنج وابستگی کمی به تغییرات فشار نشان می‌دهد. با توجه به وابستگی کم دمایی محاسبه شده به فشار با فرض فشار 4kbar (محتمل‌ترین فشار در رخساره شیست‌سیز تا آمفیبولیت) بالاترین دمای محاسبه شده ۶۱۵ و کمترین دمای محاسبه شده ۴۲۹ درجه سانتی‌گراد و برای هشت کیلوبار بالاترین دمای محاسبه شده ۶۴۴ و کمترین دمای محاسبه شده ۴۵۲ درجه سانتی‌گراد می‌باشد. با توجه به در نظر گرفتن مقدار حداکثر و حداقل Ti در بیوتیت و

جدول ۶. دماستنج گارنت-بیوتیت برای کالیبراسیون‌های مختلف بر حسب درجه سانتی‌گراد

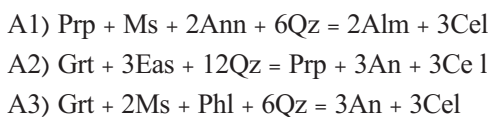
Calibration	Thomp	HandL	FandS	PandL	HandS	IandM
P(Kbar)						
(Highest Ti in Bt and Mg in Grt) 4.0	615.5	599.0	609.7	595.7	631.7	552.2
6.0	630.2	605.8	617.6	604.9	639.5	560.0
8.0	644.9	612.7	625.6	614.1	647.3	567.8
(Mean of T estimates) 4.0	469.1	469.5	427.0	502.0	497.0	411.6
6.0	481.4	475.3	433.3	497.2	503.1	417.8
8.0	493.7	481.2	439.6	492.3	509.1	424.1
Lowest Ti in Bt and Lowest Mg in Grt) 4.0	429.1	433.2	380.2	470.4	435.5	447.9
6.0	440.7	438.7	386.1	465.8	441.2	453.8
8.0	452.3	444.3	392.0	461.0	446.9	459.7

جدول ۷. تجزیه گارنت و بیوتیت در سنگ‌های پلیتی جنوب‌غرب ماهنشان (کوه ارغون)

تجزیه گارنت در سنگ‌های رسی جنوب‌غرب ماهنشان			تجزیه بیوتیت در سنگ‌های رسی جنوب‌غرب ماهنشان		
SiO ₂	37.17	36.22	38.88	SiO ₂	39.86
TiO ₂	0.03	0.07	0.06	TiO ₂	2.35
Al ₂ O ₃	21.31	21.49	19.47	Al ₂ O ₃	16.84
FeO	30.97	29.40	25.50	FeO	15.98
MnO	1.09	1.01	0.98	MnO	0.04
MgO	4.64	2.70	2.64	MgO	12.23
CaO	1.81	6.76	6.56	CaO	0.06
Total	97.02	97.65	98.09	Na ₂ O	0.75
			K ₂ O	8.52	7.77
			Total	96.63	95.76
محاسبه کاتیون در گارنت به ازای 12 اکسیژن			محاسبه کاتیون در گارنت به ازای 12 اکسیژن		
Si	3.019	2.951	3.136	Si	3.17
Ti	0.0018	0.0042	0.0036	Ti	1.40
Al	2.04	2.064	1.851	Al	1.578
Fe	2.103	2.003	1.99	Fe ₂₊	1.062
Mn	0.0749	0.0697	0.669	Mn	0.002
Mg	0.561	0.327	0.317	Mg	1.449
Ca	0.157	0.59	0.567	Ca	0.005
Total	7.923	8.01	7.933	Na	0.115
K	0.864	0.798	0.922		0.105
Total	8.385	7.374	8.744		0.546

درجه سانتیگراد و فشار 7kbar و برای واکنش‌های دما بالا دمای حدود ۸۰۱ درجه سانتیگراد و فشار 9kbar را نشان می‌دهد. محل تقاطع واکنش‌های دما بالا در محدوده پایداری سیلیمانیت قرار می‌گیرد. واکنش‌های حاصل برای دما بالا (نقطه A) و دما پایین (نقطه B) به صورت زیر است (واکنش‌های کانی‌شناسی با استفاده از نرم‌افزار ترموموکالک Powell and Holland, (1985) بدست آمده است).

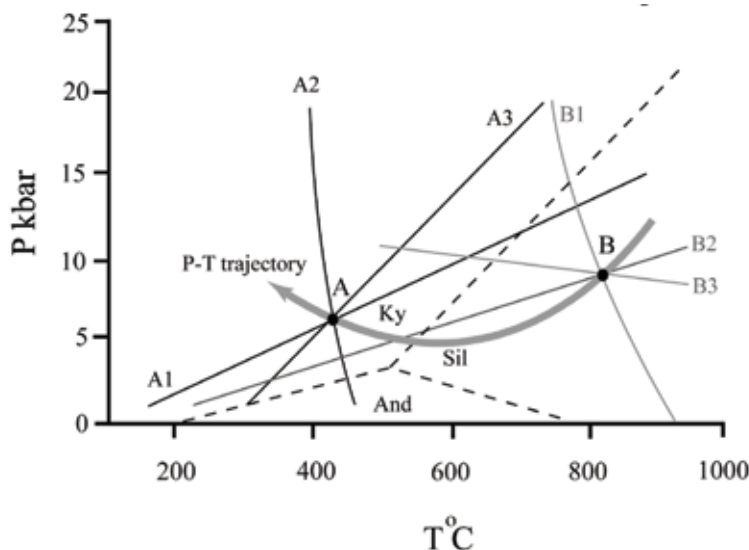
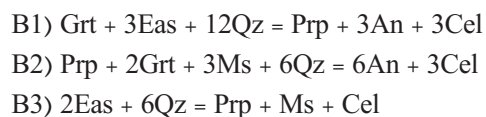
A:



واکنش‌های تعادلی چندگانه

ترسیم منحنی واکنشی بین اعضای نهایی کانی‌های موجود در نمونه‌های مطالعه شده به همراه نمودار پایداری پلی‌مورف‌های آلومینوسیلیکات بر روی شکل ۸ نشان داده شده است. محدوده پایداری دمای پایین بر محدوده پایداری کیانیت منطبق است. محل تقاطع منحنی‌های واکنشی در شکل ۸ برای واکنش‌های دما پایین، دمای حدود ۴۵۰ درجه است.

B:



شکل ۸. تعادل کانی‌شناسی چندگانه برای سنگ‌های پلیتی (حداکثر فشار و دما با نقطه B و حداقل فشار و دما با نقطه A مشخص گردیده است). پیکان ضخیم خاکستری رنگ قسمتی از مسیر دما - فشار تجربه شده توسط سنگ‌ها را نشان می‌دهد

جایگزینی یک توده نفوذی می‌تواند از صد هزار سال تا چند میلیون سال طول بکشد. بنابراین توده‌های نفوذی که در حین دگرگونی ناحیه‌ای نفوذ می‌کنند هر یک می‌توانند قسمتی از تاریخچه شرایط تکتونوتومال ناحیه‌ای را ثبت کنند و سپس با ترکیب کلیه اطلاعات می‌توان چرخه یا مسیر حرارت و فشار ناحیه‌ای را تخمین زد (Peterson, 1989).

توده‌های نفوذی که هم‌زمان با دگرگونی ناحیه‌ای نفوذ می‌کنند، اگر کاملاً هم‌زمان با دگرگونی ناحیه‌ای باشند و دمای توده نزدیک به دمای سنگ‌های درون‌گیر باشد، حاله‌های دگرگونی آن‌ها از گسترش و ضخامت بسیار کمی

فاز دوم دگرگونی ناحیه‌ای همراه با نفوذ توده‌های گابرودیوریتی در منطقه است. موازی بودن روند توده‌های نفوذی در منطقه با امتداد گسل‌های اصلی و نیز موازی بودن برگوارگی در توده با سطوح شیستوارگی در سنگ‌های دگرگونی ناحیه‌ای دلیلی بر هم‌زمانی جایگزینی توده با تغییرشکل‌های ناحیه‌ای می‌باشد. توده‌های نفوذی که در حین دگرگونی ناحیه‌ای نفوذ می‌کنند به همراه سنگ‌های میزانشان حاوی اطلاعات زیادی در مورد زمان و ماهیت جنبش‌های ناحیه‌ای و اطلاعاتی در مورد شرایط حرارتی حاکم بر سیستم در طی سرد شدن ماقما می‌باشد. زمان

محاسبه شده برای حد بالایی و حد پایینی دگرگونی، حدود ۸۰۱ درجه سانتی‌گراد و فشار ۹kbar و ۴۵۰ درجه سانتی‌گراد و فشار ۷kbar محاسبه شد.

سپاسگزاری

این مقاله حاصل بخشی از مطالعات صورت گرفته در پایان‌نامه کارشناسی ارشد نویسنده اول می‌باشد که توسط تحصیلات تکمیلی دانشگاه زنجان حمایت شده است. از سردبیر و داوران محترم مجله برای نقطه نظرات بسیار سازنده تشکر می‌شود.

منابع

- بهنام، ص.، ۱۳۹۰. پتروگرافی و زمین‌شیمی توده نفوذی دگرگون شده کوه ارغون، پایان‌نامه کارشناسی ارشد دانشگاه زنجان، ایران.
- سازمان زمین‌شناسی کشور، ۱۳۸۳، نقشه تخت سلیمان با مقیاس ۱:۱۰۰۰۰
- ساکی، ع.، ۱۳۸۲. مطالعه دگرگونی ناحیه‌ای و دگرشکلی جنوب غرب ماهنشان استان زنجان، پایان‌نامه کارشناسی ارشد دانشگاه تبریز، ۶.
- ساکی، ع.، موذن، م.، موید، م. و مجتبهدی، م.، ۱۳۸۱. ارتباط بین تبلور کانی‌ها و دگرشکلی در منطقه جنوب غرب ماهنشان، ششمین همایش انجمن زمین‌شناسی ایران.
- ساکی، ع.، موذن، م.، موید، م. و مجتبهدی، م.، ۱۳۸۱. واکنش‌های دگرگونی و پهنه‌های کانیایی در سنگ‌های کالک-سیلیکاته منطقه جنوب غرب ماهنشان، دهمین گردهمایی انجمن بلورشناسی و کانی‌شناسی ایران، دانشگاه سیستان و بلوچستان.
- سرخوشی، ع.، ۱۳۹۰. بررسی سنگ‌های دگرگونی جنوب‌غرب ماهنشان، پایان‌نامه کارشناسی ارشد، دانشگاه زنجان، ایران.
- موذن، م.، ساکی، ع. و موید، م.، ۱۳۸۱. دماستنجی سنگ‌های متاپلیتی جنوب غرب ماهنشان به کمک زوج کانی گارنت-بیوتیت. دهمین گردهمایی انجمن بلورشناسی و کانی‌شناسی ایران، دانشگاه سیستان و بلوچستان.
- Berberian, M. and King, G. C. P., 1982. Towards a paleogeography and tectonic evolution

برخوردار است که این بهدلیل کم بودن تفاوت دمایی بین توده و سنگ‌های اطراف می‌باشد. دمای توده نفوذی منطقه در مراحل نهایی تبلور و نفوذ در سنگ‌های اطراف مورد مطالعه ۵۶۰ درجه سانتی‌گراد به دست آمده است (بهنام، ۱۳۹۰). دگرشکلی دوم در منطقه همراه با اوج دگرگونی در منطقه بوده است. همان‌طور که ملاحظه می‌شود (شکل ۸)، کاهش دما (حدود ۳۵۱ درجه سانتی‌گراد) به ازای کاهش کمتر فشار (حدود 2kbar) در سنگ‌های متاپلیت منطقه مورد مطالعه دیده می‌شود. احتمالاً کاهش دما با فرسایش و بالآمدگی و یا برخاستگی حدود هفت کیلومتر صورت گرفته است. به احتمال زیاد با تأثیر دمایی توده‌های نفوذی که هم‌زمان با دگرگونی ناحیه‌ای نفوذ کرده‌اند، گارنت در دمای بالاتری در حین بالآمدگی منطقه رشد کرده و سپس با از دست رفتن دما، در فشار تقریباً ثابت در دمای کمتری رشد کرده است.

نتیجه‌گیری

مطالعه سنگ‌های متاپلیتی کوه ارغون سه گروه سنگی شامل بیوتیت‌شیست‌ها، مسکوکیت‌شیست‌ها و گارنت‌شیست‌ها را مشخص کرد که دو مرحله دگرشکلی و دگرگونی را به خوبی در خود ثبت کرده‌اند. مطالعه گارنت‌شیست‌ها مشخص کرد که گارنت‌ها طی دو مرحله قبل و بعد از تکتونیک رشد کرده‌اند. مطالعات ترکیب شیمیایی کانی‌های تجزیه شده به روش الکترون مایکروپرور نشان داد، گارنت‌ها مشخص کرد که گارنت‌ها طی دو مرحله قبل و بعد از تکتونیک رشد کرده‌اند. مطالعات ترکیب شیمیایی فلوگوپیت-آنیت تشکیل دهنده اصلی بیوتیت می‌باشند. دما و فشار تشکیل سنگ‌های متاپلیتی کوه ارغون با استفاده از دماسنج تبادل کاتیون Fe-Mg بین گارنت و بیوتیت با فرض فشار 4kbar کیلوبار بالاترین حرارت محاسبه شده ۶۱۵ و کمترین حرارت محاسبه شده ۴۲۹ درجه سانتی‌گراد و برای 8kbar بالاترین حرارت محاسبه شده ۶۴۴ و کمترین حرارت محاسبه شده ۴۵۲ درجه سانتی‌گراد به دست آمد. با استفاده از روش تعادل کانی‌شناسی چندگانه، به ترتیب فشار و دمای

- tion of Iran. Canadian Journal of Earth Sciences, 18, 210 - 265.
- Ferry, J. M. and Spear, F. S., 1978. Experimental calibration of the partitioning of Fe and Mg between biotite and garnet. Contribution to Mineralogy and Petrography, 66, 113-117.
 - Hajialioghli, R., Moazzen, M., Droop, G. T. R., Oberhansli, R., Bousquet, R., Jahangiri, R. and Ziemann, M., 2007. Serpentine polymorphs and P-T evolution of metaperidotites and serpentinites in the Takab area, NW Iran. Mineralogical Magazine, 71(2), 203-222.
 - Hobbs, E. B., Means, W. and Williams, P., 1976. An outline of structure geology. John Wiley and Sons.
 - Holland, T. and Powel, R., 1998. An internally consistent data set for phases of petrologic interest. Journal of Metamorphic Geology, 16, 309-343.
 - Holdaway, M. J., and Lee, S. M., 1977. Fe-Mg cordierite stability in high-grade pelitic rocks based on experimental theoretical and natural observation S. Contributions to Mineralogy and Petrology, 63, 175-198.
 - Hodges, K. V. and Spear, F. S., 1982. Geotherometry, geobrometry and Al₂SiO₅ triplepoint at Mt. Moosilauke, New Hampshire. American Mineralogist, 67, 1118-11394.
 - Indarse, A. and Martingnole, J., 1985. Biotite garnet geothermometry in the granulite facies: the influence of Ti and Al in biotite. American Mineralogist, 70, 272-278.
 - Moazzen, M., 1999. Contact metamorphic processes in the Etive aureole, Scotland. Unpublished Ph.D. thesis, University of Manchester, 392.
 - Moazzen, M., Oberhansli, R., Hajialioghli, R., Moller, A., Bousquet, R., Droop. G. T. R. and Jahangiri, A., 2009. Peak and post-peak P-T conditions and fluid composition for scapolite-clinopyroxene-garnet calc-silicates from the Takab area, NW Iran. European Journal of Mineralogy, 21, 149-162.
 - Moazzen, M. and Hajialioghli, R., 2008. Zircon SHRIMP dating of mafic migmatites from NW Iran, Reporting the oldest rocks from the Iranian crust. 5th Annual Meeting of AOGS, Busan, Korea, 16-20.
 - Moazzen, M., Hajialioghli, R., Moeller, A., Droop, G. T. R., Oberhansli, R., Altenberger, U. and Jahangiri, A., 2013. Oligocene partial melting in the Takab metamorphic complex, NW Iran: Evidence from in situ U-Pb geochronology. Journal of Sciences, Islamic Republic of Iran, 24(3), 217-228.
 - Powell, R., Holand T. J. B., 1985. An internally consistent thermodynamic dataset with uncertainties and correlations: 1. Methods and a worked example. J metamorphic Geol, 3, 327-342.
 - Perchuk, L. L. and Lavernt>eva, I. V., 1983. Experimental investigation of exchange equilibria in the system cordierite-garnet-biotite. In: Saxena, S. K. (ed) Kinetics and equilibrium in mineral reactions. Springer, New York, 199-239.
 - Peterson, T. D. and Peralkaline Nephelinites, L., 1989. Comparative Petrology of Shombole and Oldoinyo. Contributions to Mineralogy and Petrology, 101, 458-478.
 - Ramazani, J. and Tucker, R. D., 2003. The Saghand region. Central Iran: U-Pb geochronology, petrogenesis and implication for Gondwana tectonics American Journal of Science, 303, 622-665.
 - Seifert, F., 1978. Bedeutung und Nachweis von thermodynamischen Gleichgewicht und die interpretation von Ungleichgewichten.

- Fortschr Mineral, 55, 111-134.
- Spear, F. S., 1993. Metamorphic phase equilibria and pressure-temperature time paths. Mineralogical Society of America. Monograph, 799.
 - Spear, F. S. and Peacock, S. M., 1989. Metamorphic pressure-temperature-time paths. American Geophysical Union, Short Course in Geology, 7, 102.
 - Thompson, A. B., 1976. Mineral reactions in politic rock: 2. Calculetion of some P-T-X (Fe-Mg) phase relation. American Journal of Science, 297, 401-424.
 - Vidal, O. and Parra, T., 2000. Exhumation paths of high-pressure metapelites obtained from local equilibria for chlorite±phengite assemblage. Geological Journal, 35, 139-161.
 - Will, T. M., 1995. Phase Equilibria in Metamorphic Rocks, Thermodynamic Backgrounds and Petrological Applications, 350.
 - Whitney, D. L. and Evans, B. W., 2010. Abbreviations for names of rock forming minerals. American Mineralogist, 95, 185-187.